

что гидриды (дейтериды) палладия принадлежат к сверхпроводникам нового типа, у которых существенный вклад в константу электрон-фононного взаимодействия вносит взаимодействие электронов с оптическими колебаниями атомов водорода, а более высокое значение  $T_c$  у дейтеридов обусловлено меньшей ангармоничностью колебаний у атомов дейтерия, чем у атомов протия. По-видимому, сверхпроводящие фазы в системах титан—водород и молибден—водород также относятся к этому новому типу сверхпроводников.

Авторы благодарны В. Г. Глебовскому за предоставленный монокристалл молибдена.

#### Л и т е р а т у р а

- [1] *Skośkiewich T.* Phys. St. Sol. (a), 1972, vol. 11, N 2, p. K123—K126.
- [2] *Понятовский Е. Г., Башкин И. О., Деятарева В. Ф., Ращупкин В. И., Баркалов О. И., Аксенов Ю. А.* ФТТ, 1985, т. 27, № 11, с. 3446—3448.
- [3] *Stritzker B., Wühl H.* In: Hydrogen in Metals II / Ed. G. Alefeld, J. Völkl. Topics in Appl. Phys. Berlin, Heidelberg, N. Y.: Springer-Verlag, 1978, vol. 29, p. 243—272.
- [4] *Ponyatovsky E. G., Bashkin I. O., Degtyareva V. F., Aksenov Yu. A., Rashupkin V. I., Mogilyansky D. N.* J. Less-Common Metals, 1987, vol. 129, N 1, p. 93—103.
- [5] *Ponyatovsky E. G., Antonov V. E., Belash I. T.* In: Problems in Solid-State Physics / Ed. A. M. Prokhorov, A. S. Prokhorov. Moscow: Mir Publishers, 1984, p. 109—172.
- [6] *Антонов В. Е., Антонова Т. Е., Белаш И. Т., Малышев В. Ю., Понятовский Е. Г., Ращупкин В. И.* ФТТ, 1986, т. 28, № 8, с. 2352—2357.
- [7] *Вонсовский С. В., Изюмов Ю. А., Курмаев Э. З.* Сверхпроводимость переходных металлов, их сплавов и соединений. М.: Наука, 1977. 384 с.
- [8] *Ganguly B. N.* Zs. Physik, 1973, Bd. 265, N. 5, S. 433—439; Phys. Lett., 1973, vol. 46A, N 1, p. 23—24.

Институт физики твердого тела  
АН СССР  
Черноголовка  
Московская область

Поступило в Редакцию  
7 августа 1987 г.

УДК 548 : 537.621

Физика твердого тела, том 30, в. 2, 1988  
Solid State Physics, vol. 30, № 2, 1988

## О КАСКАДЕ ФАЗОВЫХ ПЕРЕХОДОВ ПО ПОЛЮ В ФЕРРОМАГНЕТИКАХ С ОДНОИОННОЙ АНИЗОТРОПИЕЙ

Ф. П. Онуфриева

В [1] исследовались фазовые переходы (ФП) по полю, а также свойства индуцируемых полем фаз в ферромагнетике (ФМ) с легкоплоскостной (ЛП) одноионной анизотропией (ОА) в поле, перпендикулярном ЛП, при произвольном значении узельного спина  $S$ . Было показано, что в отличие от ФМ с ЛП анизотропией обмена вместо единственного ФП существует каскад ФП 2-го рода, соответствующий чередованию фаз со спонтанно нарушенной симметрией относительно вращений вокруг трудной оси (ФМ<sub><</sub> фазы) и фаз, сохраняющих эту симметрию (ФМ<sub>||</sub>-фазы) (рис. 1), а свойства указанных фаз отличаются от известных свойств неколлинеарных и коллинеарных фаз ферромагнетика. Отличие связано с тем, что структура порядка в них обусловлена существованием не только ферромагнитных, но и тензорных составляющих параметра порядка.

В [1] изучался случай низких  $T$ . В настоящей работе мы проведем ис-

следование свойств той же системы при произвольных  $T$ . Исходный гамильтониан имеет вид

$$\mathcal{H} = -\frac{1}{2} \sum_{ij} \mathcal{J}_{ij} (S_i S_j) + D \sum_i (S_i^z)^2 - H \sum_i S_i^z, \quad D > 0. \quad (1)$$

Рассмотрим коллинеарные ФМ<sub>1</sub>-фазы, конкретно фазу с номером  $m$ , характеризуемую тем, что нижним уровнем иона в среднем поле является уровень  $|m\rangle$  ( $m$  — проекция спина на ось  $z$ ). Используя связь спиновых операторов с операторами Хаббарда  $X^{n1}$  [1, 2], реализуемую в локальных координатах, которые в случае ФМ<sub>1</sub>-фаз совпадают с исходными

$$\left. \begin{aligned} 2S_i^+ &= \sum_n \gamma_S(n) X_i^{n+1, n}, & 2S_i^- &= -\sum_n \gamma_S^*(n) X_i^{n, n+1}, \\ S_i^z &= \sum_n n X_i^{nn}, & (\gamma_S(n) &= \sqrt{(S-n)(S+n+1)}), \end{aligned} \right\} \quad (2)$$

получим гамильтониан на языке операторов Хаббарда. Начнем с определения уравнений фазовых границ. В [1] было показано, что они могут быть

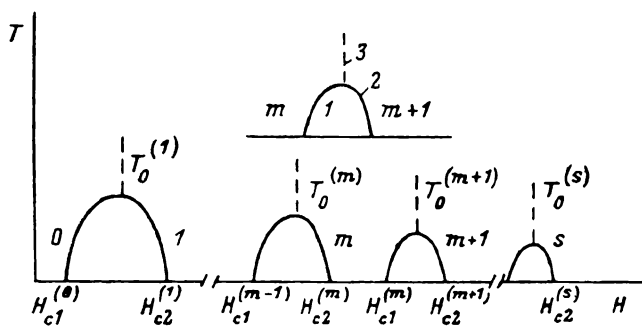


Рис. 1. Схематический вид фазовой диаграммы, соответствующей полному каскаду фазовых переходов, для случая целых  $S$ .

Сплошные линии — линии ФП 2-го рода. Фазы под кривыми — ФМ<sub><</sub>фазы, фазы вне кривых — ФМ<sub>1</sub>-фазы с номерами 0, 1,  $m$ ,  $m+1$ ,  $S$ . Штриховые линии — условные границы между ФМ<sub>1</sub>-фазами с различными номерами. На вставке: 1 —  $H_{c1}^{(m)}(T)$ , 2 —  $H_{c2}^{(m+1)}(T)$ , 3 —  $H_{c2}^{(m)}(T)$ .

Температуры  $T_0^{(n)}$  соответствуют точкам пересечения линий  $H_{c1}^{(n-1)}(T)$ ,  $H_{c2}^{(n)}(T)$  и  $H_{c2}^{(n)}(T)$ .

найлены из условия смягчения 2 мод в спектре коллективных возбуждений, связанных с переходами  $|m\rangle \rightarrow |m+1\rangle$  и  $|m\rangle \rightarrow |m-1\rangle$ . Их частоты при произвольных  $T$  проще всего можно определить, составив уравнения движения для операторов Хаббарда  $X_{\mathbf{k}}^{m, m+1}$ ,  $X_{\mathbf{k}}^{m, m-1}$  ( $\mathbf{k}$  — квазиимпульс) и проводя в них расщепления в духе приближения хаотических фаз. Линеаризованные уравнения движения для векторного оператора

$\mathbf{A}_{\mathbf{k}} = \begin{pmatrix} X_{\mathbf{k}}^{m, m+1} \\ X_{\mathbf{k}}^{m-1, m} \end{pmatrix}$  имеют вид  $\dot{\mathbf{A}}_{\mathbf{k}} = \hat{D}(\mathbf{k}) \mathbf{A}_{\mathbf{k}}$ . Диагонализуя динамическую матрицу  $\hat{D}(\mathbf{k})$ , получим частоты коллективных возбуждений

$$\left. \begin{aligned} \omega_{\mathbf{k}}^{\pm} &= \{D^2 - D\mathcal{J}_{\mathbf{k}} B_{\pm}^{(m)}/2 + (\mathcal{J}_{\mathbf{k}} B_{\pm}^{(m)}/4)^2\}^{1/2} \pm (H - 2mD + \mathcal{J}_0 M_x - \mathcal{J}_{\mathbf{k}} B_{\pm}^{(m)}/4), \\ B_{\pm}^{(m)} &= \gamma_S^2(-m) b_{-}(m) \pm \gamma_S^2(m) b_{+}(m), \quad (\mathcal{J}_{\mathbf{k}}^{\pm} \equiv \sum_{i-j} \mathcal{J}_{ij} e^{\pm i\mathbf{k}(\mathbf{R}_i - \mathbf{R}_j)}). \end{aligned} \right\} \quad (3)$$

Если при этом средние  $M_x \equiv \langle S^z \rangle$  и  $b_{\pm}(m) \equiv \langle X^{mm} - X^{m\pm 1, m\pm 1} \rangle$  определять в приближении молекулярного поля, когда они даются уравнениями

$$\left. \begin{aligned} M_x &= \sum_{n=-S}^S ne(n) \Big/ \sum_{n=-S}^S e(n), & b_{\pm}(m) &= \{e(m) - e(m \pm 1)\} \Big/ \sum_{n=-S}^S e(n), \\ e(n) &\equiv \exp\{n(H + \mathcal{J}_0 M_x - nD)/\theta\}, & \theta &= k_B T, \end{aligned} \right\} \quad (4)$$

то результат будет соответствовать нулевому приближению метода само-согласованного поля (ССП) по обратному радиусу обменного взаимодействия.

Из условий  $\omega_0^- = 0$ ,  $\omega_0^+ = 0$  получим уравнения фазовых границ  $H_{c1}^{(m)}(T)$ ,  $H_{c2}^{(m)}(T)$

$$H_{c1, c2}^{(m)}(T) = 2mD - \mathcal{J}_0 M_z + \mathcal{J}_0 B_{\pm}^{(m)}/4 \pm \{D^2 - D\mathcal{J}_0 B_{\pm}^{(m)}/2 + (\mathcal{J}_0 B_{\pm}^{(m)}/4)^2\}^{1/2}. \quad (5)$$

Если попытаться определить координаты точек, в которых  $H_{c1}^{(m-1)}(T) = H_{c2}^{(m)}(T)$ , получим не точки, а линии, на которых выполняется это равенство — штриховые линии на рис. 1, определяемые формулами

$$H_{*}^{(m)}(T) = D(2m+1) - \mathcal{J}_0 \sum_{n=-S}^S n \exp\{nD(2m+1-n)/\Theta\} / \sum_{n=-S}^S \exp\{nD(2m+1-n)/\Theta\}. \quad (6)$$

Эти линии есть условные границы между ФМ<sub>||</sub>-фазами с различными номерами, поскольку условия  $\omega_0^{\pm} = 0$  для фиксированного  $m$  определяют гра-

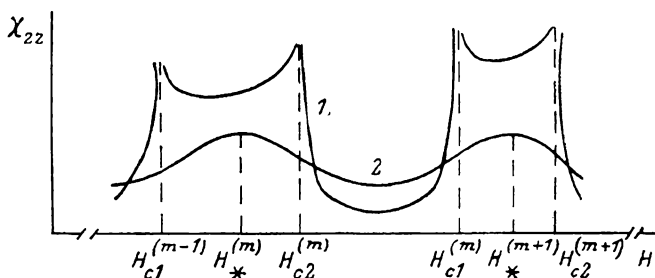


Рис. 2. Полевые зависимости продольной восприимчивости при  $T = \text{const}$ .  
1 —  $T < T_0^{(m)}$ ,  $T_0^{(m+1)}$ ; 2 —  $T < T_0^{(m)}$ ,  $T_0^{(m+1)}$ .

ницу устойчивости ФМ<sub>||</sub>-структуры с номером  $m$ . Однако это не линии ФП в истинном смысле слова: переходы между ФМ<sub>||</sub> структурами с различными  $m$  при  $T > T_0^{(m)}$  происходят плавно.<sup>1</sup> Целесообразность указания их на фазовой диаграмме состоит в следующем. Во-первых, формулы, описывающие свойства ФМ<sub>||</sub>-фаз, например формулы для спектра, справедливы для фиксированного значения  $m$ , т. е. для области параметров, ограниченной штриховыми и сплошными линиями. Вторая причина связана с тем, что в пределах ФМ<sub>||</sub>-фазы с фиксированным  $m$  характер изменения физических характеристик с полем и температурой различен в областях, прилегающих к левой и правой границам. Поскольку для других  $m$  картина повторяется, линии  $H_{*}^{(m)}(T)$ , разделяющие левую и правую области существования соседних фаз, являются линиями изменения характера поведения физических характеристик системы. Об обращении в нуль частот ферромагнитного резонанса  $\omega_0^{\pm}$ , возрастающих с  $H$  справа и убывающих слева от линий  $H = H_{*}^{(m)}(T)$ , мы уже говорили. Рассмотрим теперь поведение термодинамических функций. В нулевом приближении ССП статистическая сумма ФМ<sub>||</sub>-фазы равна

$$Z = \sum_{n=-S}^S \exp\{n(H + \mathcal{J}_0 M_z - nD)/\Theta\}, \quad (7)$$

где  $M_z$  определяется уравнением (4). Используя известные термодинамические соотношения, можем найти явные выражения для всех термодинамических функций (ТФ) в том же приближении. Аналогичным образом после выполненного предварительно перехода к локальным координатам [1] получим формулы для ТФ в ФМ<sub><</sub>-фазах. После численного решения

<sup>1</sup> Более подробно вопрос об отсутствии ФП обсуждается в [3], где рассматривается случай  $S=1$  и соответственно единственная линия  $H_{*}^{(1)}(T)$ .

уравнения для намагниченности и последующих вычислений по этим формулам придем к температурным и полевым зависимостям, схематически отраженным на рис. 2, 3.

Полевые зависимости продольной восприимчивости отражают циклическое поведение  $\chi_{zz}(H)$  с сингулярностями, характерными для ФП 2-го рода, в точках  $H = H_{c1}^{(m)}(T)$  при  $T < T_0^{(m)}$  и максимумами в точках  $H = H_{c2}^{(m)}(T)$  при  $T > T_0^{(m)}$ .

Что касается температурных зависимостей ТФ, то в зависимости от параметра  $H$  имеется 3 типа кривых восприимчивости  $\chi_{zz}(T)$  и магнитной теплоемкости  $C_S(T)$ . Первый — кривые с аномалиями типа размытого максимума (кривые 1 на рис. 3) — реализуется при значениях поля из интервала  $(H_{c2}^{(m)}, H_{c1}^{(m)})$ , второй — кривые, традиционного для ФМ вида с типичными для ФП 2-го рода сингулярностями в точках  $T = T_c(H)$  и монотонным убыванием  $\chi_{zz}(T)$  и  $C_S(T)$  при более высоких  $T$  (кривые 3) —

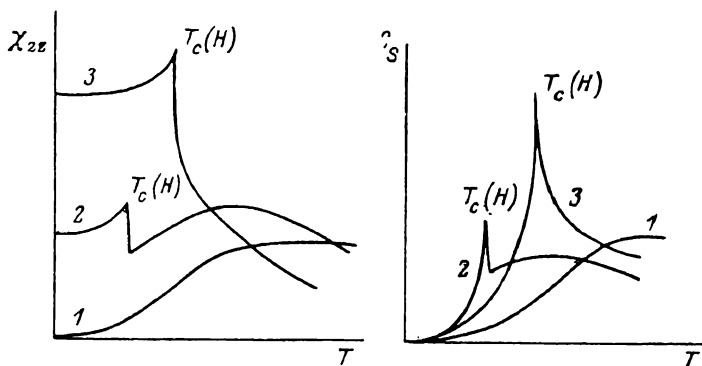


Рис. 3. Три типа кривых температурных зависимостей магнитных восприимчивости и теплоемкости при  $H = \text{const}$ .

1 —  $H \in (H_{c2}^{(n)}, H_{c1}^{(n)})$ ; 2, 3 —  $H \in (H_{c1}^{(n)}, H_{c2}^{(n+1)})$ , причем кривые типа 3 реализуются для полей, близких к  $H_{c1}^{(n)}(T)$  ( $n = 0, 1, m, S - 1$ ).

реализуется в области полей, прилегающей к линиям  $H_{c1}^{(m)}(T)$ . Наконец, третий тип — кривые, совмещающие сингулярности, характерные для ФП 2-го рода, в точках  $T = T_c(H)$  с размытым максимумом при более высоких  $T$  (кривые 2), — реализуется при значениях поля из интервала  $(H_{c1}^{(m)}, H_{c2}^{(m+1)})$ , прилегающих к границам этого интервала. При этом область существования кривых типа 2 несимметрична: широкая вблизи  $H = H_{c1}^{(m)}$  и узкая (притом сужающаяся с ростом  $m$ ) вблизи  $H = H_{c2}^{(m+1)}$ . Отметим также, что для полей, прилегающих к  $H = H_{c2}^{(m+1)}$ , аномальное поведение ТФ выше температуры ФП реализуется в узкой области температур, сужающейся с ростом  $m$ .

Экспериментальная реализация описанного поведения возможна в магнитных соединениях с существенной ОА, например в редкоземельных материалах. Из имеющихся экспериментов можно отметить работы [4], где, по-видимому, наблюдался подобный каскад ФП в соединениях  $\text{AFeCl}_3$  ( $A = \text{Rb}, \text{Cs}$ ) и  $\text{FeSiF}_6 \cdot 6\text{H}_2\text{O}$  с  $S = 2$ , в частности, получено поведение  $\chi_{zz}(H)$ , близкое к описанному в статье, а также эксперименты [5, 6], относящиеся к немагнитной фазе (фазе с  $m = 0$ ) в синглетных магнетиках  $\text{Ni}(\text{C}_5\text{H}_5\text{NO})_6(\text{ClO}_4)_2$  и  $\text{Ni}(\text{NO}_3)_2 \cdot 6\text{H}_2\text{O}$  с  $S = 1$ , где, в частности, получено температурное изменение восприимчивости и теплоемкости, качественно совпадающее с описанным в статье. Свойства в промежуточных фазах с  $m \neq 0, m \neq S$ , насколько нам известно, экспериментально не изучались.

#### Л и т е р а т у р а

[1] Онуфриева Ф. П. ФНТ, 1987, т. 14, № 1, с. 58—66.

[2] Judd B. R. Operator techniques in Atomic Spectroscopy. N. Y.: McGraw—Hill, 1963. 198 p.

- [3] Дьяконов В. П., Зубов Э. Е., Онуфриева Ф. П., Сайко А. В., Фита И. М. ЖЭТФ, 1987, т. 93, № 5 (11), с. 1775—1787.
- [4] Завадский Э. А., Тодрис Б. М., Заворотнев Ю. Д., Асадов С. К. Всесоюзн. совещ. по физике низких температур. Тезисы докладов. Таллин, 1984, ч. 3, с. 54—55; Асадов С. К., Завадский Э. А., Заворотнев Ю. Д., Тодрис Б. М. Всесоюзн. конф. по физике магнитных явлений. Тезисы докладов. Донецк, 1985, с. 49—50.
- [5] Diederix K. M., Algra H. A., Groen T. P. et al. Phys. Lett., 1977, vol. 60A, N 3, p. 247—249; Algra H. A., Bartolome J. De Jongh L. J. et al. Physica, 1978, vol. 93B, p. 35—46.
- [6] Wada N., Matsumoto K., Amaya K., Haseda T. J. Phys. Soc. Jap., 1979, vol. 47, N 4, p. 1061—1068.

Одесский государственный университет  
им. И. И. Мечникова  
Одесса

Поступило в Редакцию  
14 августа 1987 г.

УДК 535.36; 535.21; 778

Физика твердого тела, том 30, в. 2, 1988  
Solid State Physics, vol. 30, № 2, 1988

## ПАРАМЕТРИЧЕСКАЯ НЕУСТОЙЧИВОСТЬ МАГНОНОВ В ПОЛЕ ПЛОСКОЙ ВОЛНЫ

А. А. Звягин, П. Н. Лейфер, А. М. Фришман

1. При описании параметрического возбуждения спиновых волн обычно считают, что длина волны переменного магнитного поля  $L$  велика по сравнению с размерами образца  $d \ll L$ , так что неоднородностью поля волны следует пренебречь [1]. Это предположение отвечает типичной экспериментальной ситуации, так как используемые частоты лежат в диапазоне  $10^9$ — $10^{10}$  Гц, а линейные размеры образцов ферритов, в которых изучается параметрическое возбуждение, не более 1 см.

Однако, если возбуждать спиновые волны более высокими частотами накачки  $\sim 10^{12}$  Гц, то неоднородность поля на образце может стать эффективной. Заметим, что увеличение рабочей частоты накачки  $\omega$  приводит к увеличению энергии  $\epsilon_k$  и квазиимпульса  $k$  возбуждаемых магнонов (соответственно к уменьшению длины волны  $\lambda = 2\pi/k$ ). В результате, добываясь неравенства  $d/L > 1$ , мы одновременно усиливаем неравенство  $\lambda/L = q/k \ll 1$ , где  $q = 2\pi/k$  — импульс фотона. Действительно, при квадратичном законе дисперсии параметр  $q/k \sim \hbar\omega/\sqrt{\hbar\omega - 2\epsilon_0}$ , и поэтому величина  $q/k$  убывает при увеличении разности  $\hbar\omega - 2\epsilon_0$ . Если параметр  $\lambda/L$  очень мал, то при  $d/L > 1$  учет неоднородности поля волны возможен, но эффект мал в меру малости  $\lambda/L$ . Увеличить  $\lambda/L$ , не нарушая неравенства  $d/L > 1$  и тем самым сделать неоднородность поля волны наблюдаемой, можно, увеличив величину постоянного поля подмагничивания (повышая щель в спектре магнонов).

Таким образом, при изучении параметрического возбуждения магнонов на частотах  $\sim 10^{12}$  Гц, в полях подмагничивания  $\sim 10^5$  Э необходимо учитывать неоднородность поля электромагнитной волны, иными словами, нельзя полагать импульс фотона  $q$  равным нулю.

2. Гамильтониан спиновой системы в отсутствие переменного поля в гармоническом приближении может быть представлен в виде [2]

$$\mathcal{H}_0 = \sum_k \left\{ A_k a_k^\dagger a_k + \frac{1}{2} (B_k a_k a_{-k} + \text{в.с.}) \right\}. \quad (1)$$

Здесь  $a_k^\dagger$ ,  $a_k$  — Бозе-операторы рождения и уничтожения,  $A_k$  — определяется обменным и релятивистскими взаимодействиями, а  $B_k$  — только релятивистскими.